

FIG. 1

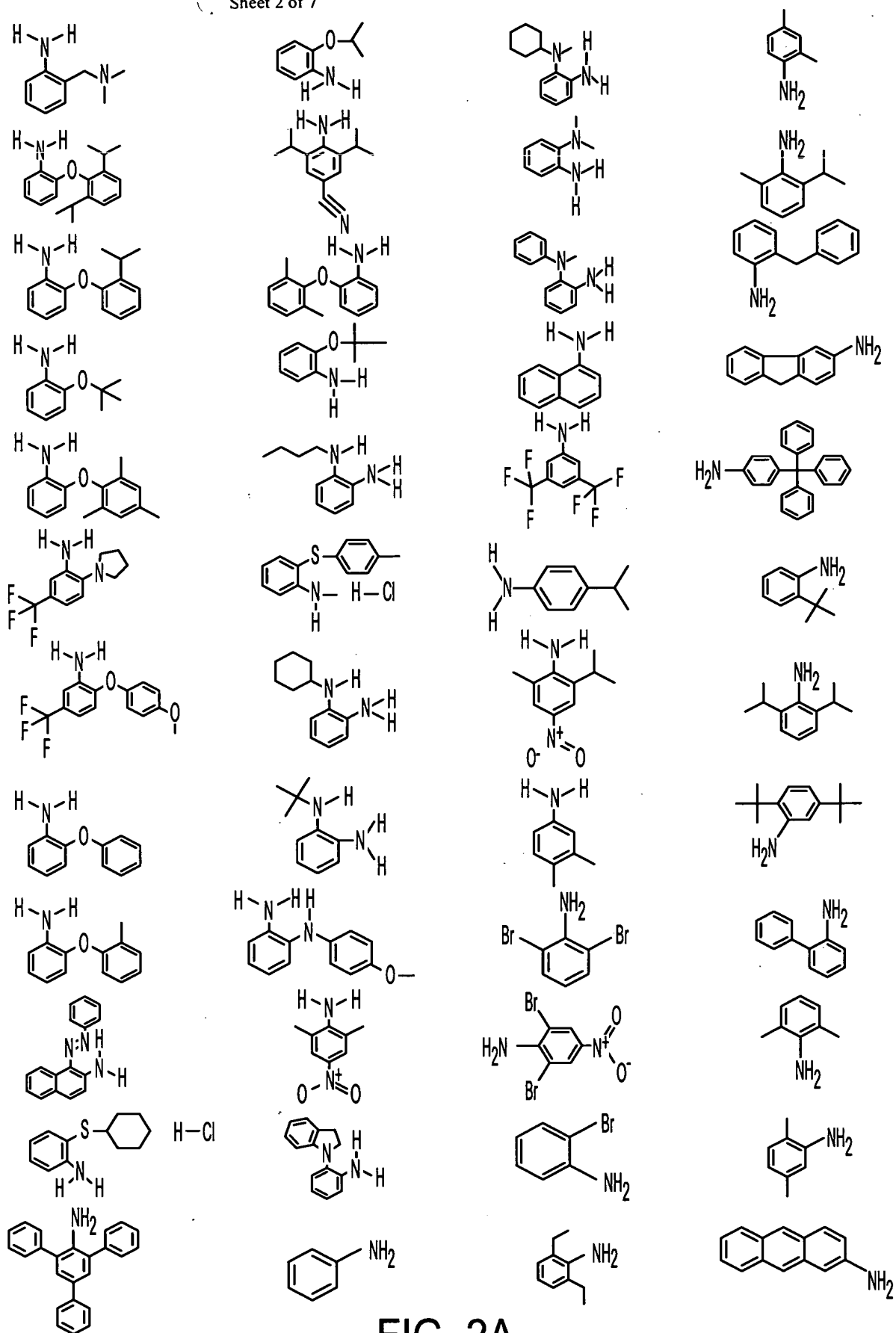


FIG. 2A



**FIG. 2B**

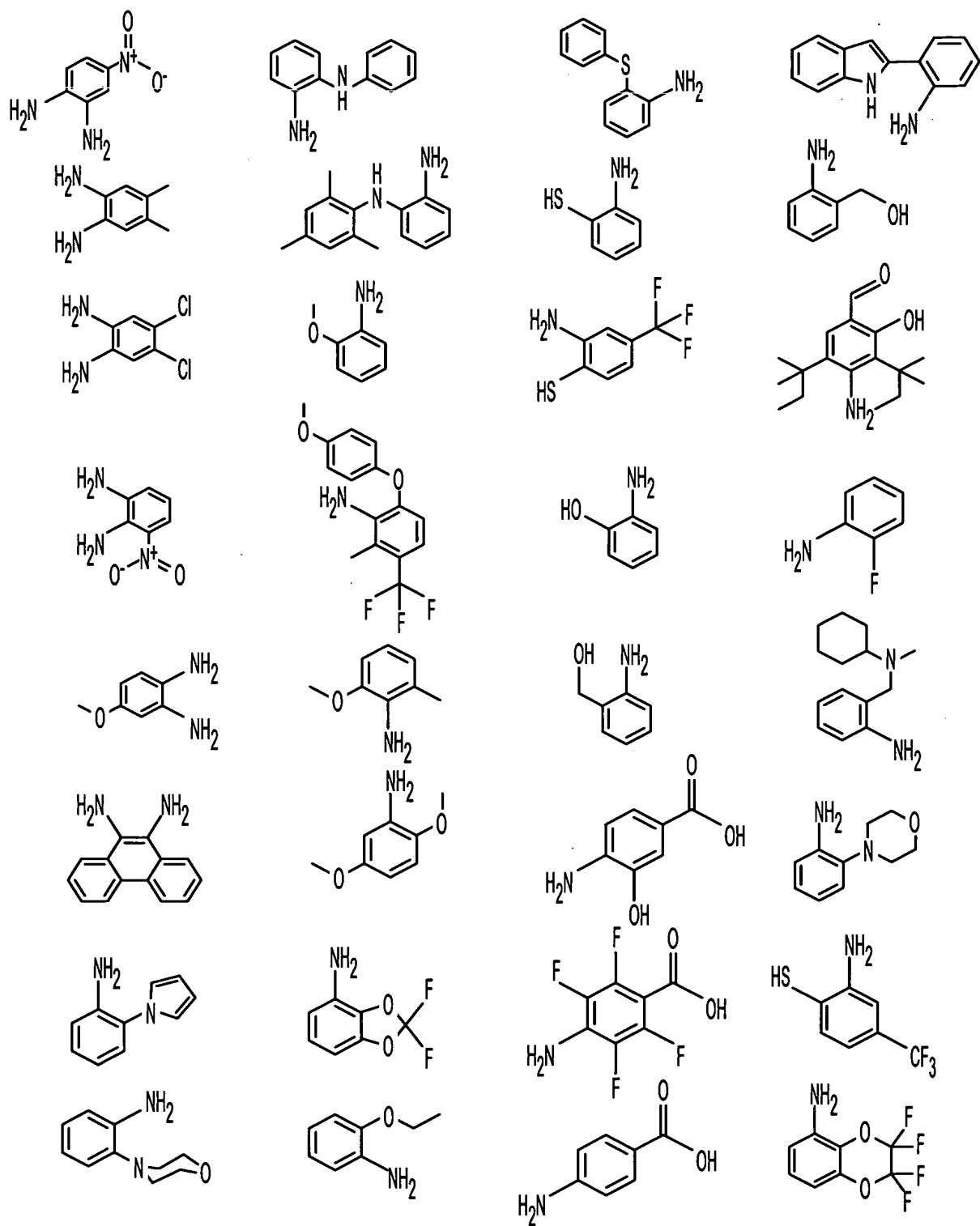


FIG. 2C

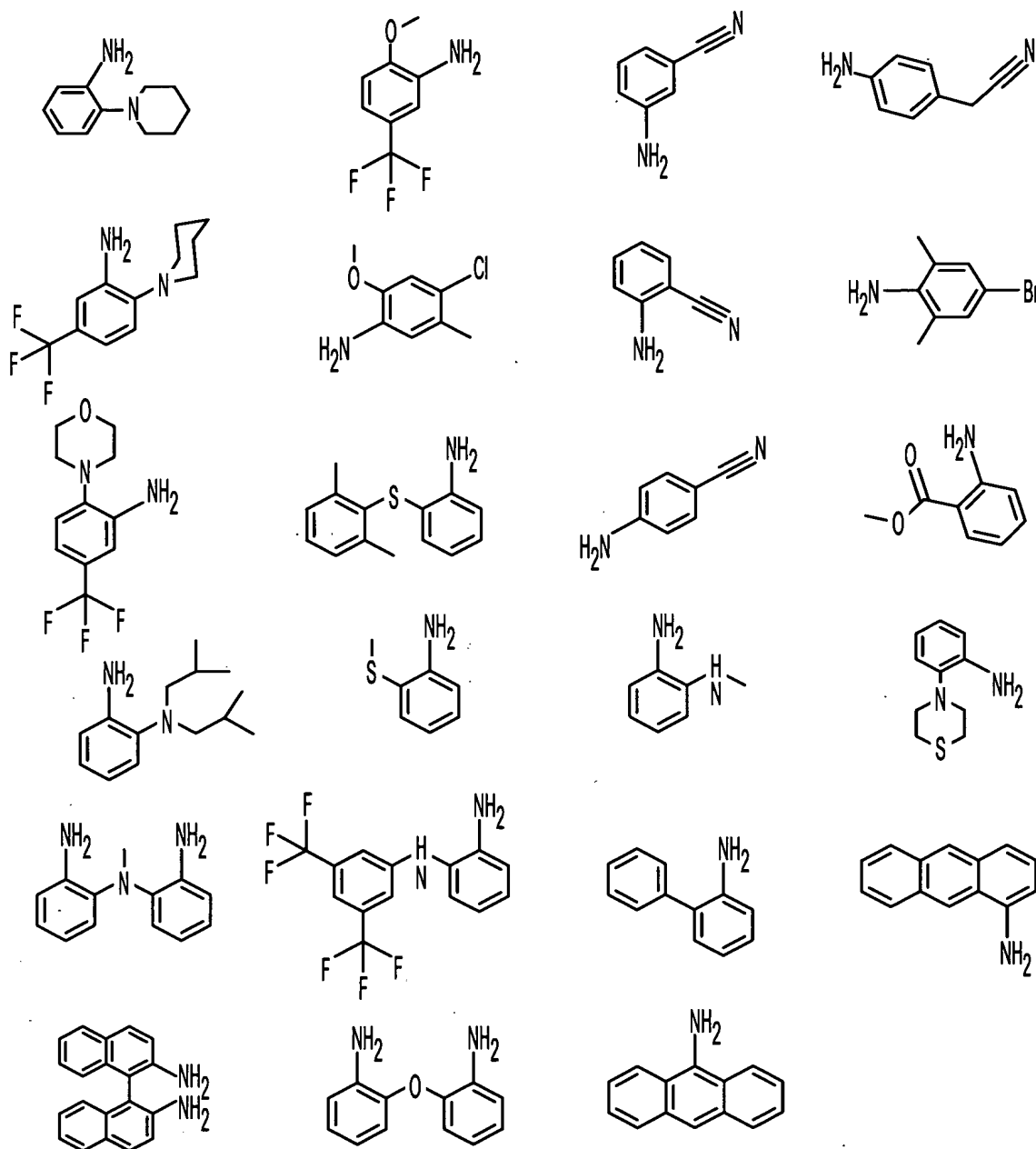


FIG. 2D

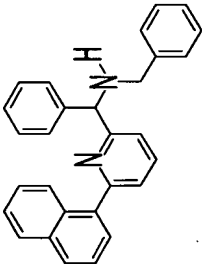
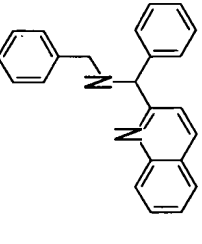
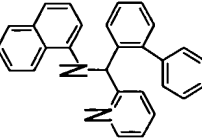
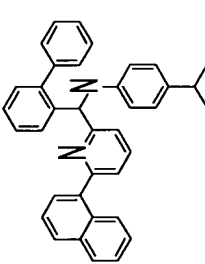
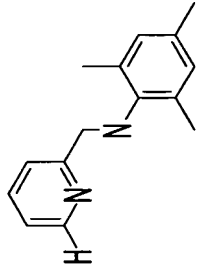
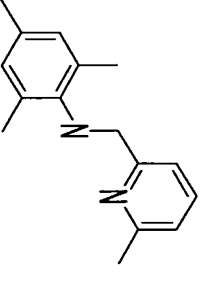
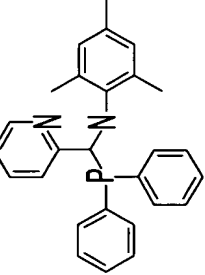
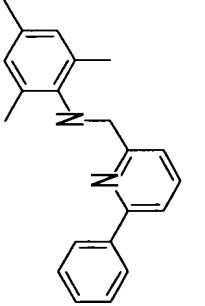
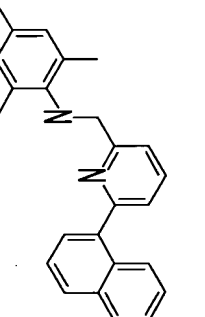
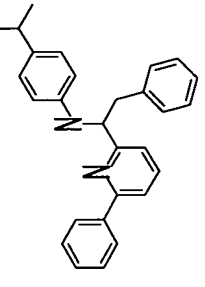
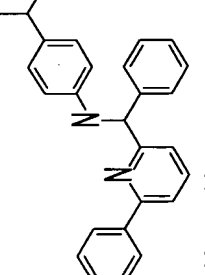
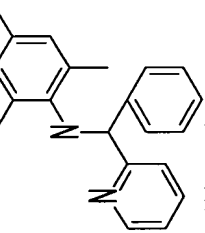
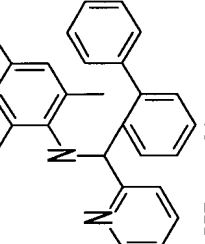
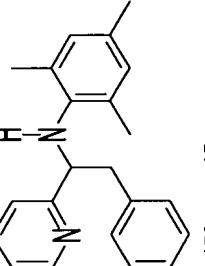
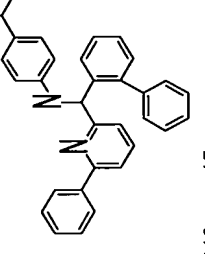
	1	2	3	4
	mg	mg	mg	mg
	wt%	wt%	wt%	wt%
A	 479 10	 621 <10	no ligand 47 10	 530 15
B	 418 16	 481 15	 532 14	 479 16
D	 248 17	 362 23	 206 12	 308 14
G	 499 15	 557 21	 459 15	 312 15

FIG. 3

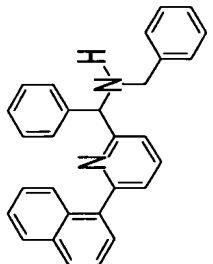
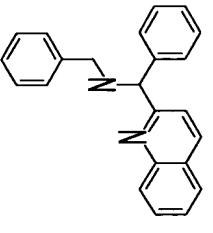
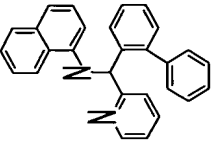
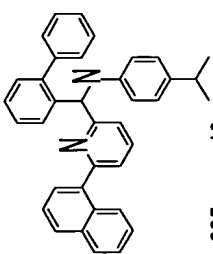
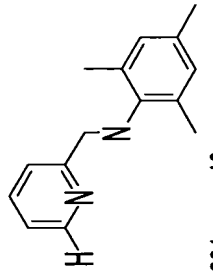
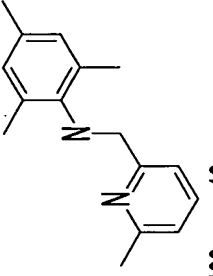
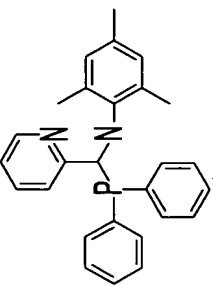
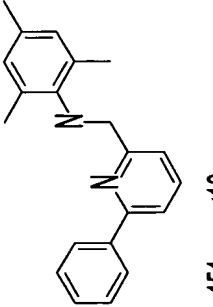
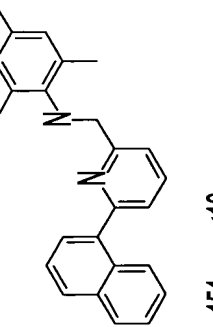
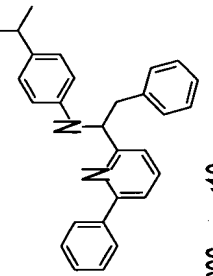
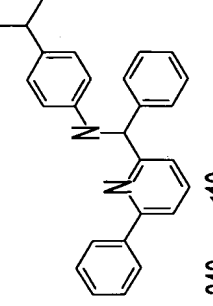
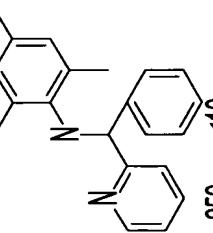
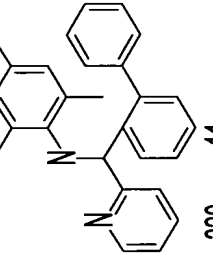
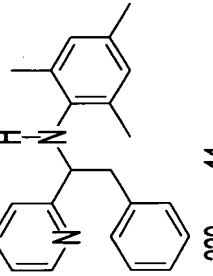
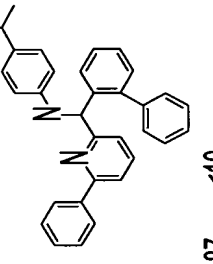
	1	2	3	4
	mg	mg	mg	mg
	wt%	wt%	wt%	wt%
A	 182 <10	 272 <10	no ligand 369 <10	 281 <10
B	 225 <10	 281 <10	 199 <10	 134 <10
D	 151 <10	 151 <10	 206 <10	 340 <10
E	 259 <10	 320 11	 229 11	 187 <10

FIG. 4